

NOTE DE CALCUL

Projet: 00622-NC1A

Note de calculs référence :00622-NC1A.rtd

du: 15/06/23

B.E:



Tél: 0324594191

Fax: 0324590197

Mail: tchenot@alUSD.com

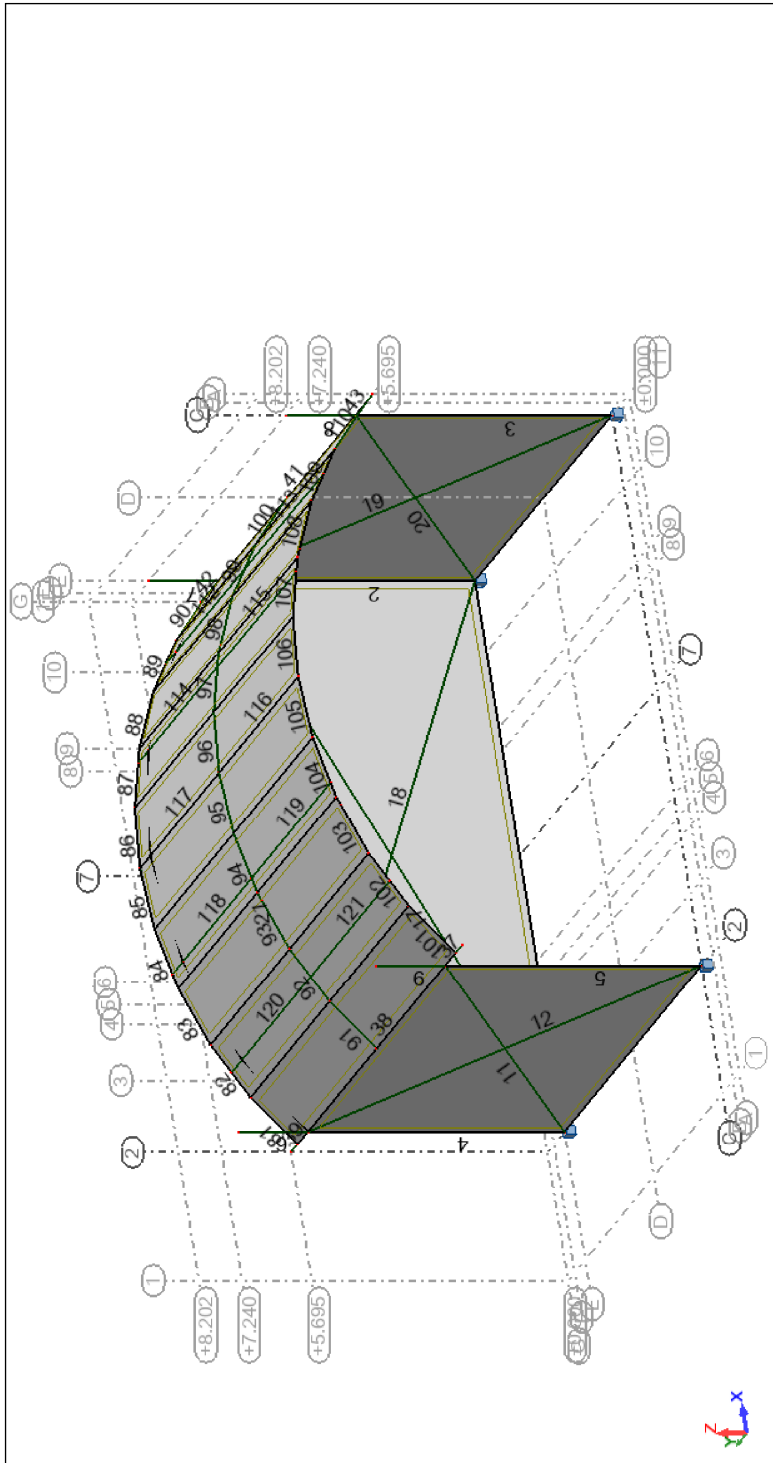
POUR:

Client: -

Auteur: S.CHRISMENT

1.	VUE D'ENSEMBLE ET BARRES.....	3
2.	HYPOTHESES DE CALCULS.....	4
3.	NOTE DE CALCUL	5
4.	PROPRIETES DES PROFILES	13
5.	PONDERATIONS	14
6.	COMBINAISONS	15
7.	CARACTERISTIQUES - BARRES.....	16
8.	CARACTERISTIQUES - CABLES	16
9.	CARACTERISTIQUES - MATERIAUX.....	16
10.	NOEUDS	17
11.	BARRES.....	19
12.	CHARGES	21
13.	RESULTANTE AU VENT W1 72KM/H	22
13.1.	SUR PAROIS PERIPHERIQUES.....	22
13.2.	SUR TOURS DE FACE	24
14.	CABLES FX ELS PRE-TENSION;	25
15.	CABLES FX ELS MIN/MAX; CAS: 37A48.....	26
16.	DEPLACEMENTS ELS SANS CABLES - DEFORMEE EXACTE; CAS: 37A48	27
17.	TL290 MYMZ ELU - MY;MZ;DEFORMEE EXACTE; CAS: 13A36.....	28
18.	SC390 MYMZ ELU - MY;MZ; CAS: 13A36	29
19.	SIGMA ELU - S MAX;S MIN; CAS: 13A36.....	30
20.	FZ ELS MIN/MAX- FORCES DE REACTION(DAN); CAS: 37A48.....	31
21.	DETERMINATION DE LA VALEUR MINI DES LESTS	32
22.	CONCLUSION	35
23.	ANNEXE1 : PLAN DES SCENES COMPATIBLES	36

1. Vue d'ensemble et barres



2. Hypothèses de calculs

- Scène suivant plan ASD 00622-0E1 ; 00622-0E2, hauteur sous grill 5.5m maxi, repris en annexe page 36.
- Installation provisoire en extérieur avec un vent maxi W1 de 72km/h.
- Appui au sol par frottement avec coefficient forfaitaire de frottement acier/asphalte=0.4

Charges d'exploitation :

- Linéaires SC390 cour et jardin : 20daN/ml
- Linéaires SC390 toit en voute : 20daN/ml
- Linéaires au lointain SC300 : 20daN/ml
- Installation ou non, en façade, de deux clusters de 300daN en façade en bout de SC390

Bâche client :

- En toiture de 800gr/m2 reprise au soulèvement sur les SC390 et EX390
- Prise au vent : 100%
- Sur faces Cour, Lointain et Jardin de 800g/m2
- Tenue intrinsèque de la bâche et de ses attaches au vent exclue de cette étude.

Croix de Saint André :

- Installation de câbles de contreventement sur faces Cour, Lointain et Jardin suivant plan d'ensemble avec un effort de prétention de 80daN par câble (x6)

Limites de sections :

- SC390 ELU : Mf max 2440daN.m
- TL290 ELU : Mf max 1720daN.m
- Matière 6060-T6, Re 21.5daN/mm2

Lests : à déterminer

Installation de niveau réalisée dans les règles de l'art.

Pas d'autres charges que celles prévues dans cette étude.

3. note de calcul

Propriétés du projet: **00622-NC1A**

Type de structure: Portique spatial

Coordonnées du centre de gravité de la structure:

$$X = 6.245 \text{ (m)}$$

$$Y = 4.813 \text{ (m)}$$

$$Z = 5.781 \text{ (m)}$$

Moments d'inertie centraux de la structure:

$$I_x = 10124.813 \text{ (kg*m}^2\text{)}$$

$$I_y = 15490.966 \text{ (kg*m}^2\text{)}$$

$$I_z = 21140.166 \text{ (kg*m}^2\text{)}$$

$$\text{Masse} = 563.064 \text{ (kg)}$$

Coordonnées du centre de gravité de la structure avec la prise en compte des masses statiques globales:

$$X = 6.245 \text{ (m)}$$

$$Y = 4.720 \text{ (m)}$$

$$Z = 3.139 \text{ (m)}$$

Moments d'inertie centraux de la structure avec la prise en compte des masses statiques globales:

$$I_x = 49775.439 \text{ (kg*m}^2\text{)}$$

$$I_y = 80690.726 \text{ (kg*m}^2\text{)}$$

$$I_z = 91257.318 \text{ (kg*m}^2\text{)}$$

$$\text{Masse} = 1881.849 \text{ (kg)}$$

Coordonnées du centre de gravité de la structure avec la prise en compte des masses dynamiques globales:

$$X = 6.245 \text{ (m)}$$

$$Y = 4.720 \text{ (m)}$$

$$Z = 3.139 \text{ (m)}$$

Moments d'inertie centraux de la structure avec la prise en compte des masses dynamiques globales:

$$I_x = 49775.439 \text{ (kg*m}^2\text{)}$$

$$I_y = 80690.726 \text{ (kg*m}^2\text{)}$$

$$I_z = 91257.318 \text{ (kg*m}^2\text{)}$$

$$\text{Masse} = 1881.849 \text{ (kg)}$$

Description de la structure

Nombre de noeuds:	66
Nombre de barres:	61
Éléments finis linéiques:	84
Éléments finis surfaciques:	0
Éléments finis volumiques:	0
Nbre de degrés de liberté stat.:	372
Cas:	42
Combinaisons:	36

Liste de cas de charges/types de calculs

Cas 1 : pp
Type d'analyse: Statique non linéaire

Processus non-linéaire convergent.

Valeur maximale du paramètre du processus dans le cas où la convergence a été obtenue : 1.000
Valeur minimale du paramètre du processus dans le cas où la convergence n'a pas été obtenue: 1.000

Cas 2 : cluster
Type d'analyse: Statique non linéaire

Processus non-linéaire convergent.

Valeur maximale du paramètre du processus dans le cas où la convergence a été obtenue : 1.000
Valeur minimale du paramètre du processus dans le cas où la convergence n'a pas été obtenue: 1.000

Cas 3 : charge_lineaire
Type d'analyse: Statique non linéaire

Processus non-linéaire convergent.

Valeur maximale du paramètre du processus dans le cas où la convergence a été obtenue : 1.000
Valeur minimale du paramètre du processus dans le cas où la convergence n'a pas été obtenue: 1.000

Cas 4 : vent_cote W1
Type d'analyse: Statique non linéaire

Processus non-linéaire convergent.

Valeur maximale du paramètre du processus dans le cas où la convergence a été obtenue : 1.000
Valeur minimale du paramètre du processus dans le cas où la convergence n'a pas été obtenue: 1.000

Cas 5 : vent_face W1
Type d'analyse: Statique non linéaire

Processus non-linéaire convergent.

Valeur maximale du paramètre du processus dans le cas où la convergence a été obtenue : 1.000
Valeur minimale du paramètre du processus dans le cas où la convergence n'a pas été obtenue: 1.000

Cas 6 : Modale
Type d'analyse: Modale

Données:

Mode d'analyse : Modal
Type de matrices de masses : Concentrée sans rotations
Nombre de modes : 10
Limites : 0.000
Coefficient des masses participantes : 0.000

Cas 13 : EFF/1=pp*1.50 + cluster*1.70 + charge_lineaire*1.70
Type d'analyse: Combinaison N-L

Processus non-linéaire convergent.

Valeur maximale du paramètre du processus dans le cas où la convergence a été obtenue : 1.000
Valeur minimale du paramètre du processus dans le cas où la convergence n'a pas été obtenue: 1.000

Cas 14 : EFF/2=pp*1.50
Type d'analyse: Combinaison N-L

Processus non-linéaire convergent.

Valeur maximale du paramètre du processus dans le cas où la convergence a été obtenue : 1.000
Valeur minimale du paramètre du processus dans le cas où la convergence n'a pas été obtenue: 1.000

Cas 15 : EFF/3=pp*1.50 + cluster*1.70
Type d'analyse: Combinaison N-L

Processus non-linéaire convergent.

Valeur maximale du paramètre du processus dans le cas où la convergence a été obtenue : 1.000
Valeur minimale du paramètre du processus dans le cas où la convergence n'a pas été obtenue: 1.000

Cas 16 : EFF/4=pp*1.50 + charge_lineaire*1.70
Type d'analyse: Combinaison N-L

Processus non-linéaire convergent.

Valeur maximale du paramètre du processus dans le cas où la convergence a été obtenue : 1.000
Valeur minimale du paramètre du processus dans le cas où la convergence n'a pas été obtenue: 1.000

Cas 17 : EFF/5=pp*1.00 + cluster*1.70 + charge_lineaire*1.70
Type d'analyse: Combinaison N-L

Processus non-linéaire convergent.

Valeur maximale du paramètre du processus dans le cas où la convergence a été obtenue : 1.000
Valeur minimale du paramètre du processus dans le cas où la convergence n'a pas été obtenue: 1.000

Cas 18 : EFF/6=pp*1.00
Type d'analyse: Combinaison N-L

Processus non-linéaire convergent.

Valeur maximale du paramètre du processus dans le cas où la convergence a été obtenue : 1.000
Valeur minimale du paramètre du processus dans le cas où la convergence n'a pas été obtenue: 1.000

Cas 19 : EFF/7=pp*1.00 + cluster*1.70
Type d'analyse: Combinaison N-L

Processus non-linéaire convergent.

Valeur maximale du paramètre du processus dans le cas où la convergence a été obtenue : 1.000
Valeur minimale du paramètre du processus dans le cas où la convergence n'a pas été obtenue: 1.000

Cas 20 : EFF/8=pp*1.00 + charge_lineaire*1.70
Type d'analyse: Combinaison N-L

Processus non-linéaire convergent.

Valeur maximale du paramètre du processus dans le cas où la convergence a été obtenue : 1.000
Valeur minimale du paramètre du processus dans le cas où la convergence n'a pas été obtenue: 1.000

Cas 21 : EFF/9=pp*1.50 + vent_cote_W1*1.70
Type d'analyse: Combinaison N-L

Processus non-linéaire convergent.

Valeur maximale du paramètre du processus dans le cas où la convergence a été obtenue : 1.000
Valeur minimale du paramètre du processus dans le cas où la convergence n'a pas été obtenue: 1.000

Cas 22 : EFF/10=pp*1.50 + vent_face_W1*1.70
Type d'analyse: Combinaison N-L

Processus non-linéaire convergent.

Valeur maximale du paramètre du processus dans le cas où la convergence a été obtenue : 1.000
Valeur minimale du paramètre du processus dans le cas où la convergence n'a pas été obtenue: 1.000

Cas 23 : EFF/11=pp*1.00 + vent_cote_W1*1.70
Type d'analyse: Combinaison N-L

Processus non-linéaire convergent.

Valeur maximale du paramètre du processus dans le cas où la convergence a été obtenue : 1.000
Valeur minimale du paramètre du processus dans le cas où la convergence n'a pas été obtenue: 1.000

Cas 24 : EFF/12=pp*1.00 + vent_face_W1*1.70
Type d'analyse: Combinaison N-L

Processus non-linéaire convergent.

Valeur maximale du paramètre du processus dans le cas où la convergence a été obtenue : 1.000
Valeur minimale du paramètre du processus dans le cas où la convergence n'a pas été obtenue: 1.000

Cas 25 : EFF/13=pp*1.50+cluster*1.60+charge_lineaire*1.60...

Type d'analyse: Combinaison N-L

Processus non-linéaire convergent.

Valeur maximale du paramètre du processus dans le cas où la convergence a été obtenue : 1.000
Valeur minimale du paramètre du processus dans le cas où la convergence n'a pas été obtenue: 1.000

Cas 26 : EFF/14=pp*1.50+cluster*1.60+charge_lineaire*1.60...

Type d'analyse: Combinaison N-L

Processus non-linéaire convergent.

Valeur maximale du paramètre du processus dans le cas où la convergence a été obtenue : 1.000
Valeur minimale du paramètre du processus dans le cas où la convergence n'a pas été obtenue: 1.000

Cas 27 : EFF/15=pp*1.50 + cluster*1.60 + vent_cote_W1*1.60

Type d'analyse: Combinaison N-L

Processus non-linéaire convergent.

Valeur maximale du paramètre du processus dans le cas où la convergence a été obtenue : 1.000
Valeur minimale du paramètre du processus dans le cas où la convergence n'a pas été obtenue: 1.000

Cas 28 : EFF/16=pp*1.50 + cluster*1.60 + vent_face_W1*1.60

Type d'analyse: Combinaison N-L

Processus non-linéaire convergent.

Valeur maximale du paramètre du processus dans le cas où la convergence a été obtenue : 1.000
Valeur minimale du paramètre du processus dans le cas où la convergence n'a pas été obtenue: 1.000

Cas 29 : EFF/17=pp*1.50 + charge_lineaire*1.60 + vent_cote_W1*1.60

Type d'analyse: Combinaison N-L

Processus non-linéaire convergent.

Valeur maximale du paramètre du processus dans le cas où la convergence a été obtenue : 1.000
Valeur minimale du paramètre du processus dans le cas où la convergence n'a pas été obtenue: 1.000

Cas 30 : EFF/18=pp*1.50 + charge_lineaire*1.60 + vent_face_W1*1.60

Type d'analyse: Combinaison N-L

Processus non-linéaire convergent.

Valeur maximale du paramètre du processus dans le cas où la convergence a été obtenue : 1.000
Valeur minimale du paramètre du processus dans le cas où la convergence n'a pas été obtenue: 1.000

Cas 31 : EFF/19=pp*1.00+cluster*1.60+charge_lineaire*1.60...

Type d'analyse: Combinaison N-L

Processus non-linéaire convergent.

Valeur maximale du paramètre du processus dans le cas où la convergence a été obtenue : 1.000
Valeur minimale du paramètre du processus dans le cas où la convergence n'a pas été obtenue: 1.000

Cas 32 : EFF/20=pp*1.00+cluster*1.60+charge_lineaire*1.60...
Type d'analyse: Combinaison N-L

Processus non-linéaire convergent.

Valeur maximale du paramètre du processus dans le cas où la convergence a été obtenue : 1.000
Valeur minimale du paramètre du processus dans le cas où la convergence n'a pas été obtenue: 1.000

Cas 33 : EFF/21=pp*1.00 + cluster*1.60 + vent_cote_W1*1.60
Type d'analyse: Combinaison N-L

Processus non-linéaire convergent.

Valeur maximale du paramètre du processus dans le cas où la convergence a été obtenue : 1.000
Valeur minimale du paramètre du processus dans le cas où la convergence n'a pas été obtenue: 1.000

Cas 34 : EFF/22=pp*1.00 + cluster*1.60 + vent_face_W1*1.60
Type d'analyse: Combinaison N-L

Processus non-linéaire convergent.

Valeur maximale du paramètre du processus dans le cas où la convergence a été obtenue : 1.000
Valeur minimale du paramètre du processus dans le cas où la convergence n'a pas été obtenue: 1.000

Cas 35 : EFF/23=pp*1.00 + charge_lineaire*1.60 + vent_cote_W1*1.60
Type d'analyse: Combinaison N-L

Processus non-linéaire convergent.

Valeur maximale du paramètre du processus dans le cas où la convergence a été obtenue : 1.000
Valeur minimale du paramètre du processus dans le cas où la convergence n'a pas été obtenue: 1.000

Cas 36 : EFF/24=pp*1.00 + charge_lineaire*1.60 + vent_face_W1*1.60
Type d'analyse: Combinaison N-L

Processus non-linéaire convergent.

Valeur maximale du paramètre du processus dans le cas où la convergence a été obtenue : 1.000
Valeur minimale du paramètre du processus dans le cas où la convergence n'a pas été obtenue: 1.000

Cas 37 : DEP/1=pp*1.00 + cluster*1.00 + charge_lineaire*1.00
Type d'analyse: Combinaison N-L

Processus non-linéaire convergent.

Valeur maximale du paramètre du processus dans le cas où la convergence a été obtenue : 1.000
Valeur minimale du paramètre du processus dans le cas où la convergence n'a pas été obtenue: 1.000

Cas 38 : DEP/2=pp*1.00
Type d'analyse: Combinaison N-L

Processus non-linéaire convergent.

Valeur maximale du paramètre du processus dans le cas où la convergence a été obtenue : 1.000
Valeur minimale du paramètre du processus dans le cas où la convergence n'a pas été obtenue: 1.000

Cas 39 : DEP/3=pp*1.00 + cluster*1.00
Type d'analyse: Combinaison N-L

Processus non-linéaire convergent.

Valeur maximale du paramètre du processus dans le cas où la convergence a été obtenue : 1.000
Valeur minimale du paramètre du processus dans le cas où la convergence n'a pas été obtenue: 1.000

Cas 40 : DEP/4=pp*1.00 + charge_lineaire*1.00
Type d'analyse: Combinaison N-L

Processus non-linéaire convergent.

Valeur maximale du paramètre du processus dans le cas où la convergence a été obtenue : 1.000
Valeur minimale du paramètre du processus dans le cas où la convergence n'a pas été obtenue: 1.000

Cas 41 : DEP/5=pp*1.00 + vent_cote_W1*1.00
Type d'analyse: Combinaison N-L

Processus non-linéaire convergent.

Valeur maximale du paramètre du processus dans le cas où la convergence a été obtenue : 1.000
Valeur minimale du paramètre du processus dans le cas où la convergence n'a pas été obtenue: 1.000

Cas 42 : DEP/6=pp*1.00 + vent_face_W1*1.00
Type d'analyse: Combinaison N-L

Processus non-linéaire convergent.

Valeur maximale du paramètre du processus dans le cas où la convergence a été obtenue : 1.000
Valeur minimale du paramètre du processus dans le cas où la convergence n'a pas été obtenue: 1.000

Cas 43 : DEP/7=pp*1.00+cluster*1.00+charge_lineaire*1.00...
Type d'analyse: Combinaison N-L

Processus non-linéaire convergent.

Valeur maximale du paramètre du processus dans le cas où la convergence a été obtenue : 1.000
Valeur minimale du paramètre du processus dans le cas où la convergence n'a pas été obtenue: 1.000

Cas 44 : DEP/8=pp*1.00+cluster*1.00+charge_lineaire*1.00...
Type d'analyse: Combinaison N-L

Processus non-linéaire convergent.

Valeur maximale du paramètre du processus dans le cas où la convergence a été obtenue : 1.000
Valeur minimale du paramètre du processus dans le cas où la convergence n'a pas été obtenue: 1.000

Cas 45 : DEP/9=pp*1.00 + cluster*1.00 + vent_cote_W1*1.00
Type d'analyse: Combinaison N-L

Processus non-linéaire convergent.

Valeur maximale du paramètre du processus dans le cas où la convergence a été obtenue : 1.000
Valeur minimale du paramètre du processus dans le cas où la convergence n'a pas été obtenue: 1.000

Cas 46 : DEP/10=pp*1.00 + cluster*1.00 + vent_face_W1*1.00
Type d'analyse: Combinaison N-L

Processus non-linéaire convergent.

Valeur maximale du paramètre du processus dans le cas où la convergence a été obtenue : 1.000
Valeur minimale du paramètre du processus dans le cas où la convergence n'a pas été obtenue: 1.000

Cas 47 : DEP/11=pp*1.00 + charge_lineaire*1.00 + vent_cote_W1*1.00
Type d'analyse: Combinaison N-L

Processus non-linéaire convergent.

Valeur maximale du paramètre du processus dans le cas où la convergence a été obtenue : 1.000
Valeur minimale du paramètre du processus dans le cas où la convergence n'a pas été obtenue: 1.000

Cas 48 : DEP/12=pp*1.00 + charge_lineaire*1.00 + vent_face_W1*1.00
Type d'analyse: Combinaison N-L

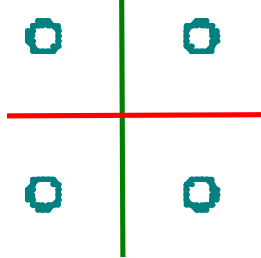
Processus non-linéaire convergent.

Valeur maximale du paramètre du processus dans le cas où la convergence a été obtenue : 1.000
Valeur minimale du paramètre du processus dans le cas où la convergence n'a pas été obtenue: 1.000

4. Propriétés des profilés

Caractéristiques de la section:

scar 290x290x3



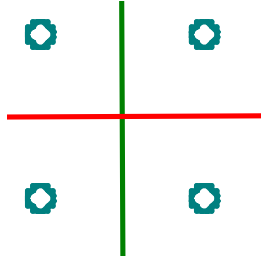
HY=289.0, HZ=289.0 [mm]

AX=17.63 [cm²]

IX=79.54, IY=2566.06, IZ=2566.06 [cm⁴]

Matériau=6060-T6

scar 389



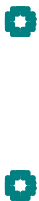
HY=389.0, HZ=389.0 [mm]

AX=12.00 [cm²]

IX=62.43, IY=3482.82, IZ=3482.82 [cm⁴]

Matériau=6060-T6

ex 390



HY=50.0, HZ=389.0 [mm]

AX=8.81 [cm²]

IX=47.80, IY=2556.71, IZ=24.31 [cm⁴]

Matériau=6060-T6

5. Pondérations

**Pondérations suivant le règlement :
AL 76 Avril 2000**

Paramètres de la création des pondérations

Type de pondérations : complètes

Liste de cas actifs :

Liste de modèles de combinaison :

EFF	normale (1 charge variable)
EFF	normale (2 charges variables)
EFF	normale (3 charges variables)
DEP	Déplacement

Liste de groupes définis :

Liste de relations définies :

permanente:	G1
d'exploitation:	Q1
vent:	W1 ou excl. W2

6. combinaisons

Combinaison	Nom
	ELU
13	EFF/1=pp*1.50 + cluster*1.70 + charge_lineaire*1.70
14	EFF/2=pp*1.50
15	EFF/3=pp*1.50 + cluster*1.70
16	EFF/4=pp*1.50 + charge_lineaire*1.70
17	EFF/5=pp*1.00 + cluster*1.70 + charge_lineaire*1.70
18	EFF/6=pp*1.00
19	EFF/7=pp*1.00 + cluster*1.70
20	EFF/8=pp*1.00 + charge_lineaire*1.70
21	EFF/9=pp*1.50 + vent_cote_W1*1.70
22	EFF/10=pp*1.50 + vent_face_W1*1.70
23	EFF/11=pp*1.00 + vent_cote_W1*1.70
24	EFF/12=pp*1.00 + vent_face_W1*1.70
25	EFF/13=pp*1.50+cluster*1.60+charge_lineaire*1.60...
26	EFF/14=pp*1.50+cluster*1.60+charge_lineaire*1.60...
27	EFF/15=pp*1.50 + cluster*1.60 + vent_cote_W1*1.60
28	EFF/16=pp*1.50 + cluster*1.60 + vent_face_W1*1.60
29	EFF/17=pp*1.50 + charge_lineaire*1.60 + vent_cote_W1*1.60
30	EFF/18=pp*1.50 + charge_lineaire*1.60 + vent_face_W1*1.60
31	EFF/19=pp*1.00+cluster*1.60+charge_lineaire*1.60...
32	EFF/20=pp*1.00+cluster*1.60+charge_lineaire*1.60...
33	EFF/21=pp*1.00 + cluster*1.60 + vent_cote_W1*1.60
34	EFF/22=pp*1.00 + cluster*1.60 + vent_face_W1*1.60
35	EFF/23=pp*1.00 + charge_lineaire*1.60 + vent_cote_W1*1.60
36	EFF/24=pp*1.00 + charge_lineaire*1.60 + vent_face_W1*1.60
	ELS
37	DEP/1=pp*1.00 + cluster*1.00 + charge_lineaire*1.00
38	DEP/2=pp*1.00
39	DEP/3=pp*1.00 + cluster*1.00
40	DEP/4=pp*1.00 + charge_lineaire*1.00
41	DEP/5=pp*1.00 + vent_cote_W1*1.00
42	DEP/6=pp*1.00 + vent_face_W1*1.00
43	DEP/7=pp*1.00+cluster*1.00+charge_lineaire*1.00+ vent_cote_W1*1.00
44	DEP/8=pp*1.00+cluster*1.00+charge_lineaire*1.00 + vent_face_W1*1.00
45	DEP/9=pp*1.00 + cluster*1.00 + vent_cote_W1*1.00
46	DEP/10=pp*1.00 + cluster*1.00 + vent_face_W1*1.00
47	DEP/11=pp*1.00 + charge_lineaire*1.00 + vent_cote_W1*1.00
48	DEP/12=pp*1.00 + charge_lineaire*1.00 + vent_face_W1*1.00

7. caractéristiques - Barres

Nom de la section	Liste des barres	AX [cm2]	AY [cm2]	AZ [cm2]	IX [cm4]	IY [cm4]	IZ [cm4]
scar 290x290x3	2A9 21	17.63	0.0	0.0	79.54	2566.06	2566.06
scar 389	37A39 41A43 81A110	12.00	377.98	378.06	62.43	3482.82	3482.82
ex 390	112A121	8.81	0.0	0.0	47.80	2556.71	24.31

8. caractéristiques - Câbles

	Nom du câble	Liste des barres	Section AX [cm2]	Force Fo [daN]
*	cable_d12	11 12 17A20	0.67	80.0

9. caractéristiques - Matériaux

	Matériau	E [daN/mm2]	G [daN/mm2]	NU	LX [1°C]	RO [daN/m3]	Re [daN/mm2]
1	6060-T6	7950.00	2780.00	0.34	0.00	2700.0	21.50
2	Inox_cables_7_19	13000.00	8080.00	0.30	0.00	7800.0	94.00

10. noeuds

Noeud	X [m]	Y [m]	Z [m]	Code de l'appui	Appui
1	0.0	0.0	0.0	bbbbbb	Encastrement
2	0.0	0.0	7.240		
3	0.0	8.490	0.0	bbbbbb	Encastrement
4	0.0	8.490	7.240		
5	12.490	8.490	0.0	bbbbbb	Encastrement
6	12.490	8.490	7.240		
7	12.490	8.490	5.695		
8	1.625	8.490	6.900		
9	12.490	0.0	0.0	bbbbbb	Encastrement
10	12.490	0.0	7.240		
11	0.0	0.0	5.695		
12	12.490	4.245	5.695		
13	3.854	8.490	7.860		
14	6.245	8.490	8.202		
15	12.490	0.0	5.695		
16	10.866	8.490	6.900		
17	9.145	-0.650	7.710		
18	9.145	4.245	7.710		
19	8.634	8.490	7.860		
20	3.345	-0.650	7.710		
21	3.345	4.245	7.710		
22	0.0	4.245	5.695		
44	0.0	-1.055	5.695		
46	0.0	8.490	5.695		
47	0.0	9.546	5.695		
51	12.490	9.546	5.695		
70	12.490	-1.055	5.695		
79	0.0	-0.650	5.695		
89	12.490	9.141	5.695		
99	0.0	9.141	5.695		
109	12.490	-0.650	5.695		
110	1.065	9.141	6.569		
111	2.251	9.141	7.271		
112	3.529	9.141	7.784		
113	4.871	9.141	8.097		
114	6.245	9.141	8.202		
115	7.619	9.141	8.097		
116	8.961	9.141	7.784		
117	10.239	9.141	7.271		
118	11.425	9.141	6.569		
119	1.065	4.245	6.569		
120	2.251	4.245	7.271		
121	3.529	4.245	7.784		
122	4.871	4.245	8.097		
123	6.245	4.245	8.202		
124	7.619	4.245	8.097		
125	8.961	4.245	7.784		
126	10.239	4.245	7.271		
127	11.425	4.245	6.569		
129	1.065	-0.650	6.569		
130	2.251	-0.650	7.271		
131	3.529	-0.650	7.784		
132	4.871	-0.650	8.097		

Noeud	X [m]	Y [m]	Z [m]	Code de l'appui	Appui
133	6.245	-0.650	8.202		
134	7.619	-0.650	8.097		
135	8.961	-0.650	7.784		
136	10.239	-0.650	7.271		
137	11.425	-0.650	6.569		
141	10.866	4.245	6.900		
142	10.866	9.141	6.900		
143	10.866	-0.650	6.900		
144	8.634	4.245	7.860		
145	8.634	9.141	7.860		
146	8.634	-0.650	7.860		
147	3.854	4.245	7.860		
148	3.854	9.141	7.860		
149	3.854	-0.650	7.860		
150	1.625	4.245	6.900		
151	1.625	9.141	6.900		
152	1.625	-0.650	6.900		

11. barres

Barre	Noeud 1	Noeud 2	Section	Matériau	Longueur [m]	Gamma [Deg]	Type de barre	Élément de construction
2	5	7	scar 290x290x3	6060-T6	5.695	90.0	Barre	Barre
3	9	15	scar 290x290x3	6060-T6	5.695	90.0	Barre	Barre
4	3	46	scar 290x290x3	6060-T6	5.695	90.0	Barre	Barre
5	1	11	scar 290x290x3	6060-T6	5.695	90.0	Barre	Barre
6	46	4	scar 290x290x3	6060-T6	1.545	90.0	Barre	Barre
7	7	6	scar 290x290x3	6060-T6	1.545	90.0	Barre	Barre
8	15	10	scar 290x290x3	6060-T6	1.545	90.0	Barre	Barre
9	11	2	scar 290x290x3	6060-T6	1.545	90.0	Barre	Barre
11	3	11	cable_d12	Inox_cables_7_19	10.223	0.0	Câbles	Barre
12	1	46	cable_d12	Inox_cables_7_19	10.223	0.0	Câbles	Barre
17	3	7	cable_d12	Inox_cables_7_19	13.727	0.0	Câbles	Barre
18	5	46	cable_d12	Inox_cables_7_19	13.727	0.0	Câbles	Barre
19	7	9	cable_d12	Inox_cables_7_19	10.223	0.0	Câbles	Barre
20	5	15	cable_d12	Inox_cables_7_19	10.223	0.0	Câbles	Barre
21	46	7	scar 290x290x3	6060-T6	12.490	90.0	Barre	Barre
37	44	11	scar 389	6060-T6	1.055	90.0	Barre	Barre
38	11	46	scar 389	6060-T6	8.490	90.0	Barre	Barre
39	46	47	scar 389	6060-T6	1.056	90.0	Barre	Barre
41	15	7	scar 389	6060-T6	8.490	90.0	Barre	Barre
42	7	51	scar 389	6060-T6	1.056	90.0	Barre	Barre
43	15	70	scar 389	6060-T6	1.055	90.0	Barre	Barre
81	99	110	scar 389	6060-T6	1.378	90.0	Barre	Barre
82	110	111	scar 389	6060-T6	1.378	90.0	Barre	Barre
83	111	112	scar 389	6060-T6	1.378	90.0	Barre	Barre
84	112	113	scar 389	6060-T6	1.378	90.0	Barre	Barre
85	113	114	scar 389	6060-T6	1.378	90.0	Barre	Barre
86	114	115	scar 389	6060-T6	1.378	90.0	Barre	Barre
87	115	116	scar 389	6060-T6	1.378	90.0	Barre	Barre
88	116	117	scar 389	6060-T6	1.378	90.0	Barre	Barre
89	117	118	scar 389	6060-T6	1.378	90.0	Barre	Barre
90	118	89	scar 389	6060-T6	1.378	90.0	Barre	Barre
91	22	119	scar 389	6060-T6	1.378	90.0	Barre	Barre
92	119	120	scar 389	6060-T6	1.378	90.0	Barre	Barre
93	120	121	scar 389	6060-T6	1.378	90.0	Barre	Barre
94	121	122	scar 389	6060-T6	1.378	90.0	Barre	Barre
95	122	123	scar 389	6060-T6	1.378	90.0	Barre	Barre
96	123	124	scar 389	6060-T6	1.378	90.0	Barre	Barre
97	124	125	scar 389	6060-T6	1.378	90.0	Barre	Barre
98	125	126	scar 389	6060-T6	1.378	90.0	Barre	Barre
99	126	127	scar 389	6060-T6	1.378	90.0	Barre	Barre
100	127	12	scar 389	6060-T6	1.378	90.0	Barre	Barre
101	79	129	scar 389	6060-T6	1.378	90.0	Barre	Barre
102	129	130	scar 389	6060-T6	1.378	90.0	Barre	Barre
103	130	131	scar 389	6060-T6	1.378	90.0	Barre	Barre
104	131	132	scar 389	6060-T6	1.378	90.0	Barre	Barre
105	132	133	scar 389	6060-T6	1.378	90.0	Barre	Barre
106	133	134	scar 389	6060-T6	1.378	90.0	Barre	Barre
107	134	135	scar 389	6060-T6	1.378	90.0	Barre	Barre
108	135	136	scar 389	6060-T6	1.378	90.0	Barre	Barre
109	136	137	scar 389	6060-T6	1.378	90.0	Barre	Barre
110	137	109	scar 389	6060-T6	1.378	90.0	Barre	Barre
112	141	142	ex 390	6060-T6	4.896	30.0	Barre	Barre
113	143	141	ex 390	6060-T6	4.895	30.0	Barre	Barre
114	144	145	ex 390	6060-T6	4.896	15.0	Barre	Barre

Barre	Noeud 1	Noeud 2	Section	Matériau	Longueur [m]	Gamma [Deg]	Type de barre	Élément de construction
115	146	144	ex 390	6060-T6	4.895	15.0	Barre	Barre
116	133	123	ex 390	6060-T6	4.895	0.0	Barre	Barre
117	123	114	ex 390	6060-T6	4.896	0.0	Barre	Barre
118	147	148	ex 390	6060-T6	4.896	-15.0	Barre	Barre
119	149	147	ex 390	6060-T6	4.895	-15.0	Barre	Barre
120	150	151	ex 390	6060-T6	4.896	-30.0	Barre	Barre
121	152	150	ex 390	6060-T6	4.895	-30.0	Barre	Barre

12. charges

La décomposition des effets au vent est détaillée dans les prochaines pages.

Cas	Préfixe	Type de charge	Liste	Valeurs de la charge	Remarques utilisateur
1	pp	poids propre	37A39 41A43	PZ Moins Coef=2.70	9kg/ml SC390
1	pp	poids propre	2A9 21	PZ Moins Coef=1.44	SC300 7kg/ml
1	pp	poids propre	112A121	PZ Moins Coef=1.33	ex390
1	pp	(EF) surfacique uniforme	13A16 124A133	PZ=-0.8[daN/m2]	poids_bache
1	pp	force nodale	1 3 5 9	FZ=-290.0[daN]	poids complementaires embase+chariot+tete
2	cluster	force nodale	44 70	FZ=-300.0[daN]	cluster
3	charge_lineaire	charge uniforme	21 37A39 41A43 81-A110	PZ=-20.0[daN/m]	cour+jardin+voute lointain
4	vent_cote W1	(EF) surfacique uniforme	129A133	PZ=-2.4[daN/m2] local	toiture au vent 72km/h
4	vent_cote W1	(EF) surfacique uniforme	124A128	PZ=3.6[daN/m2] local	toiture sous le vent 72km/h
4	vent_cote W1	(EF) surfacique uniforme	14	PZ=31.0[daN/m2] local	bache paroiie verticale 72km/h
5	vent_face W1	(EF) surfacique uniforme	124A133	PZ=-31.0[daN/m2] local	toiture 72kmh
5	vent_face W1	charge uniforme	2A9	PY=4.7[daN/m]	TL290
5	vent_face W1	(EF) surfacique uniforme	13A16	PZ=-31.0[daN/m2] local	bache paroiies verticales 72kmh

13. Résultante au vent W1 72km/h

13.1. Sur parois périphériques

Bâtiment ouvert sur une face ; période de structure : 0.4s

Caractérisation du dôme :

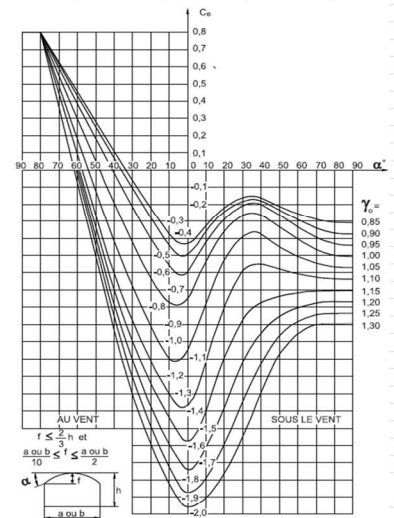
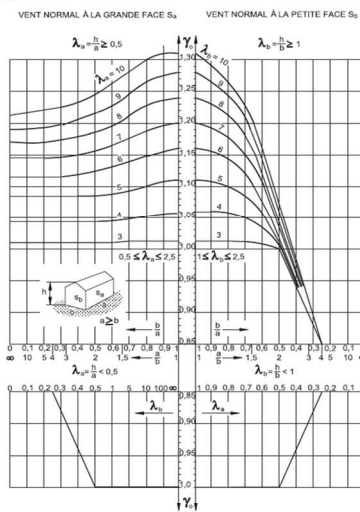
Toiture en dôme suivant NV65 §4.23, toiture à deux versants symétriques en voute

Surbaissement : $666(f)/6730(h\alpha) = 1/10^e < 1/4$, donc on remplace la voute par une toiture isolée à deux versants plans. Avec $\alpha = 22^\circ$

calcul des efforts resultants sur un batiment en voute ouvert 1 face

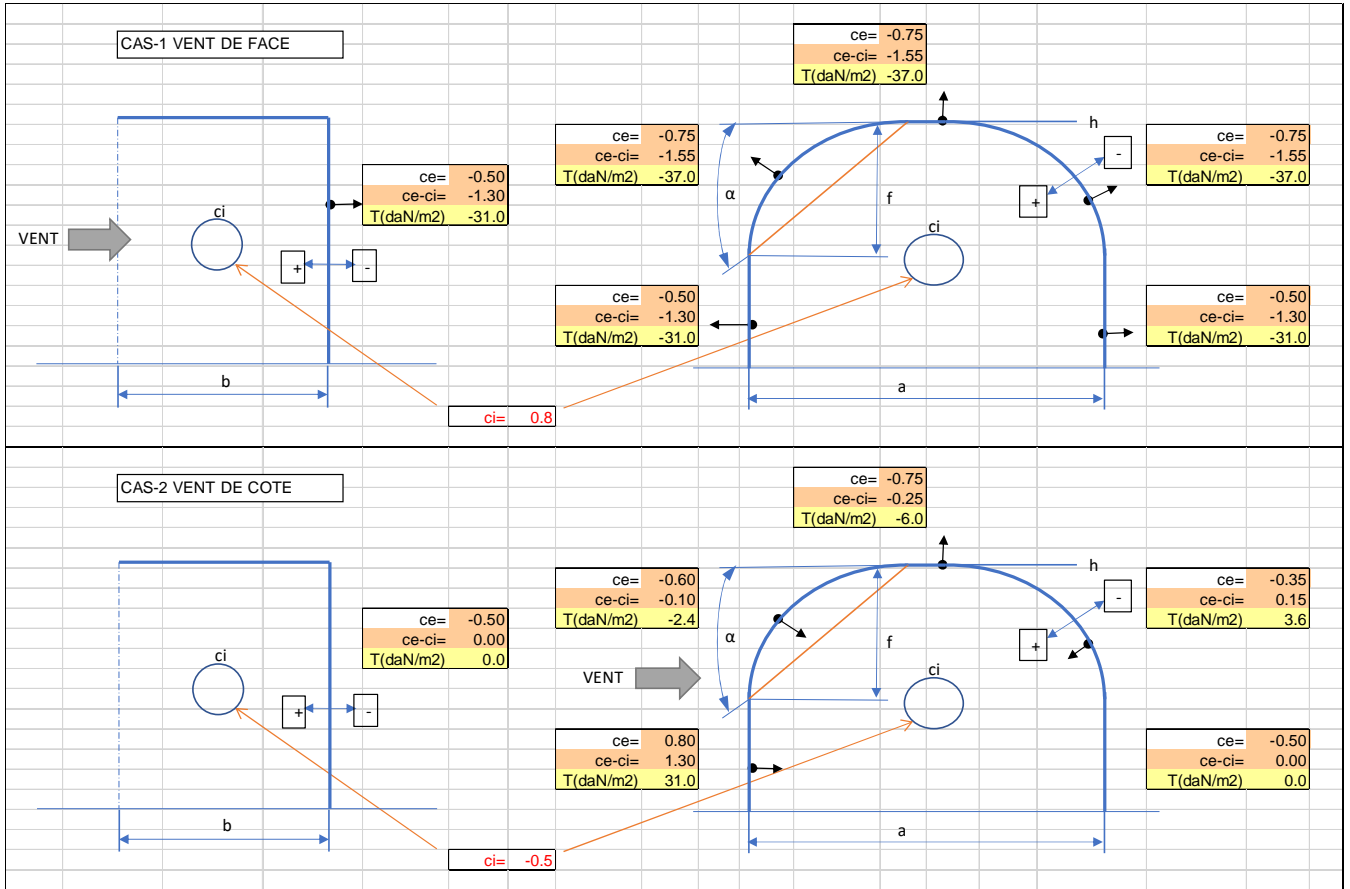
dimensions de la structure hors tout		articles	
hauteur hors tout (h)	8.2 m		
largeur a (plus longue)	12.49 m		
longueur b	9.8 m		
angle alpha de toiture	22 degrés		
flèche de toiture	2.5 m		
rapport des dimensions (lambda a)	0.66 λa	p.87 2.03	
rapport des dimensions (lambda b)	0.84 λb	p.87 2.03	
rapport b/a	0.78		
coefficient gamma 0 (grande face a)	1.00 γ_{0a}	p89 2.12 (graf)	
coefficient gamma 0 (petite face b)	1.00 γ_{0b}	p89 2.12 (graf)	
données du vent			
Vitesse du vent	72 km/h		
	20.0 m/s		
pression de base du vent	25 daN/m ²	1.232	
coefficient de masque (Km)	1	1.243	
coefficient de site (Ks)	1	1.242	
Coefficient de hauteur maxi (Delta)	0.82 δ	p.63 1.244	
qh/q10	0.96	1.241	
<input type="checkbox"/> Qc installation permanente	FAUX		
Pression dynamique corrigée. (qc)	19 daN/m ²	p.67 1.246	
Actions dynamiques // au vent			
Période de structure	0.40 s		
Coefficient de réponse (Xi)	0.66 ξ	p.83 1.511	
Coefficient de pulsation (Taux)	0.36 τ	p.83 1.511	
Coefficient dynamique (Beta)	1.2 β	p.81 1.511	
Valeur analytique de la pression dynamique (qr)			
	23.9 daN/m ²	p.81 1.5	
1-ce parois verticales			
	au vent	0.8 ce	p.91 2.131
	sous le vent (grande face a)	-0.5 ce	p.91 2.131
	sous le vent (petite face b)	-0.5 ce	p.91 2.131
2-ce toitures			
	a ou b /10 ≤ f	VRAI	p.91 2.131
	f ≤ a ou b /2	VRAI	p.91 2.131
	f ≤ 2/3h	VRAI	p.91 2.131
valeurs de ce VOIR Fig. R-III-7			
vent normal aux generatrices:			
	AU VENT	-0.60 ce	p97 fig. R-III-7
	SOUS LE VENT	-0.35 ce	p97 fig. R-III-7
vent parrallele aux generatrices avec α=0			
		-0.75 ce	p97 fig. R-III-7
3-ci batiment ouvert			
	partie ouverte au vent	0.8 ci	p.105 2.142
	partie ouverte sous le vent	-0.5 ci	p.105 2.142

La valeur du coefficient γ_0 (C-III-1,321) est donnée par le diagramme de la figure R-III-5 :



Toitures en voute. Coefficient c_e : Figure R-III-7

$Q_r = 23.9 \text{ daN/mm}^2$, %spl= surface pleine des bâches :100%,
 Effets sur tours, englobé dans l'effet sur bâches en vent de coté



13.2. Sur tours de face

En vent de face uniquement :

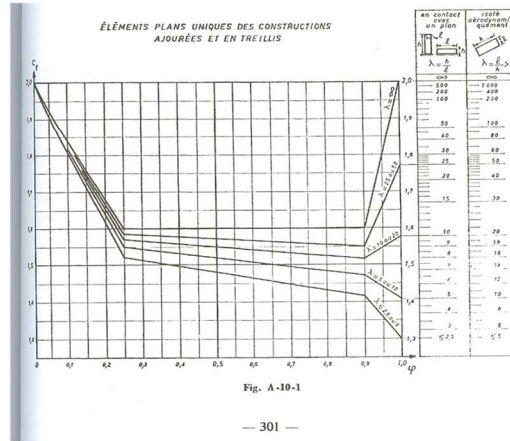
calcul des efforts resultants au vent sur structures à treillis

dimensions de la structure hors tout		articles	
hauteur	6000 mm		
largeur	290 mm		
rapport des dimensions (lambda)	20.69 λ		p.71 1.321
données du vent			
Vitesse du vent	72 km/h		
	20.0 m/s		
pression de base du vent	25 daN/m ²		1.232
coefficient de masque (Km)	1		1.243
coefficient de site (Ks)	1		1.242
Coefficient de hauteur maxi (Delta)	0.85 δ		p.63 1.244
qh/q10	0.91		1.241
Actions dynamiques			
Periode de structure	0.40 s		
Coefficient de réponse (Xi)	0.66 ξ		p.83 1.511
Coefficient de pulsation (Taux)	0.36 τ		p.83 1.511
Coefficient dynamique (Beta)	1.2 β		p.81 1.511
Valeur Analytique			
de pression dyn. (qr)	24 daN/m ²		

elements de structures		articles	
membres sur 1 face			
diametres membrures	50 mm		
nb membrures	2		
lg membrures	6000 mm		
surface au vent M	0.60 m ²		
metrè total des membrures(1f)	12.00 ml		
treillis sur 1 face			
diametres treillis	16 mm		
nb treillis	24		
lg treillis	350 mm		
surface au vent T	0.13 m ²		
metrè total des treillis(1f)	8.40 ml		
surface 1 face pleine (S)	1.74 m ²		p.181 5.11
Surface totale tubes 1 face (Sp)	0.73 m ²		p.181 5.11
% sections pleines (Phi)	0.42 φ		p.181 5.11
Coefficient de traînée (Ct)	1.60		p.187/301 5.231

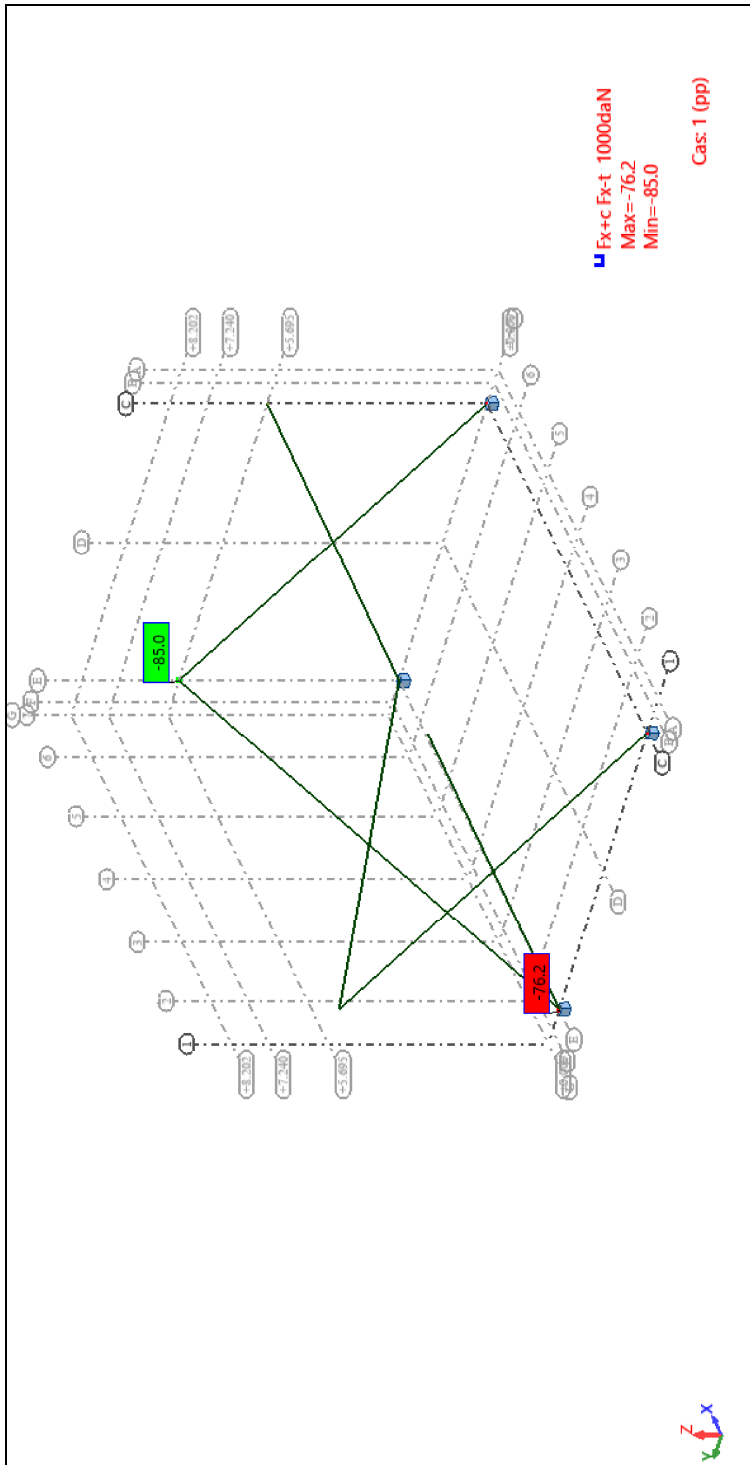
$$0.08 \leq \varphi \leq 0.35$$

Résultante des actions		articles	
Action d'ensemble (Taux)	28 daN		5.22
Décomposition d'actions			
Mètre total des tubes (1f)	20.4 m		
Vent de face (Faces 1 et 3)			
efforts normal sur tubes par face	0.68 daN/ml		
Vent oblique (Faces 1/2/3/4)			
Coefficient de vent oblique (Khi)	1.25 χ		
Action d'ensemble (Taux.Khi)	35 daN		
efforts normal sur tubes par face	0.31 daN/ml		

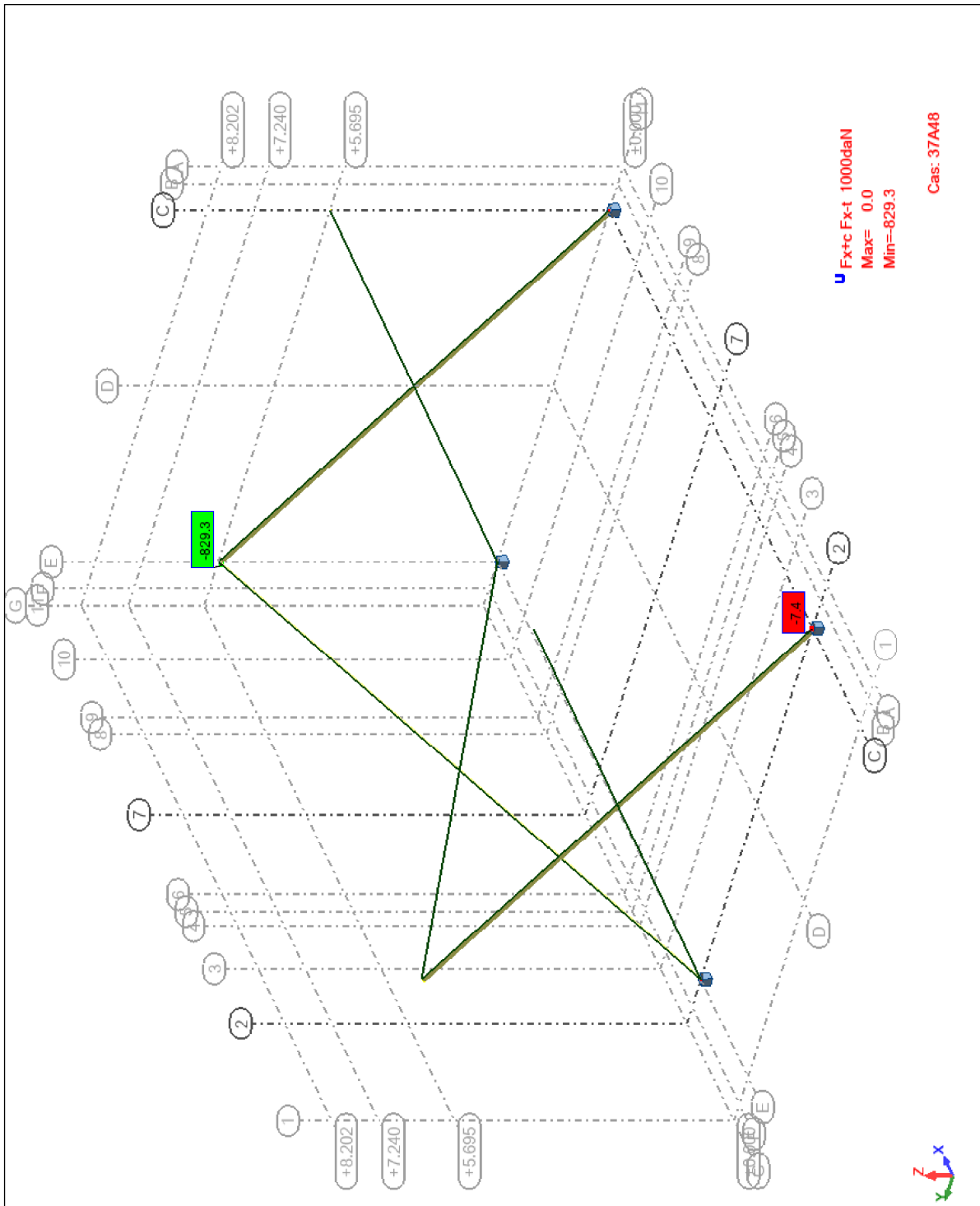


On appliquera donc $28/6 = 4.7 \text{ daN/ml}$ sur chaque tour de façade en vent de face.

14. Cables Fx ELS pré-tension;

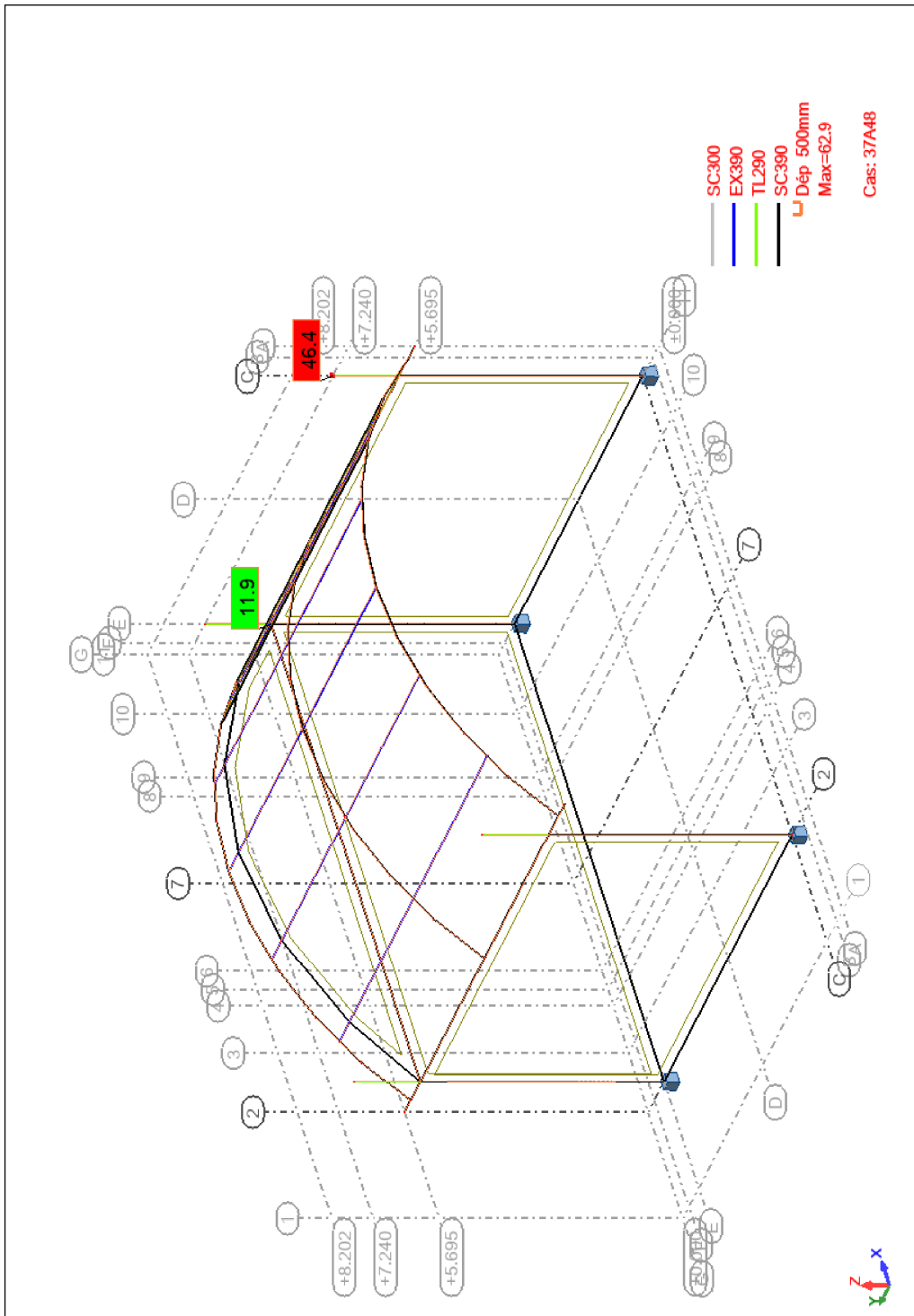


15. Câbles Fx ELS min/max; Cas: 37A48



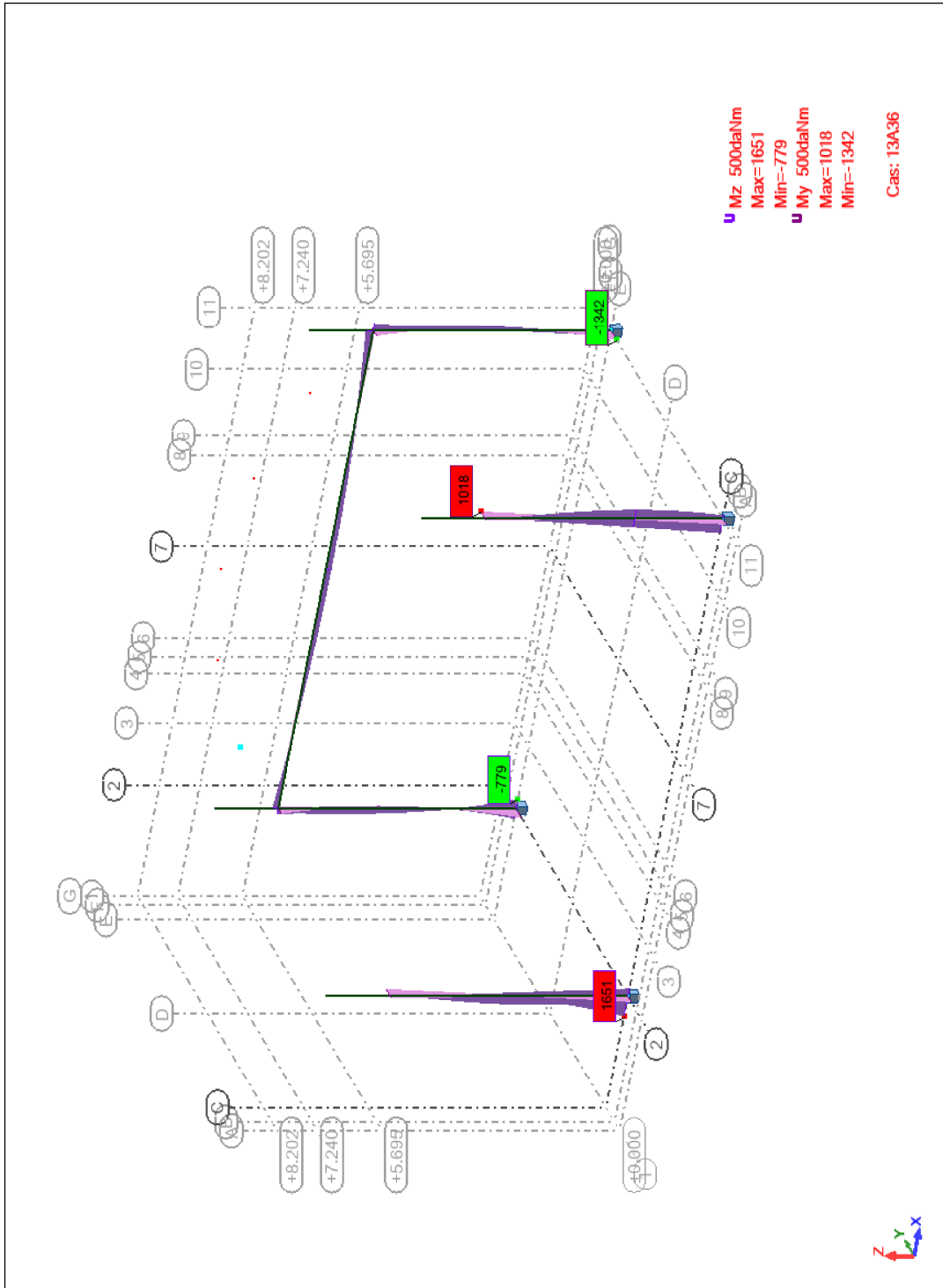
Fx maxi de 830 daN aux ELS à partir d'un F0 de pré-tension de 80daN
Câbles 7/19 ϕ 12 ; Rr 8t6 ; E apparent : 13000daN/mm² ; taux utilisation : 10% Rm
Accessoires défavorables brides KUPO Rr : 1t avec s=5=5t ; taux utilisation : 16% Rm

16. Déplacements ELS sans cables - Déformée exacte; Cas: 37A48



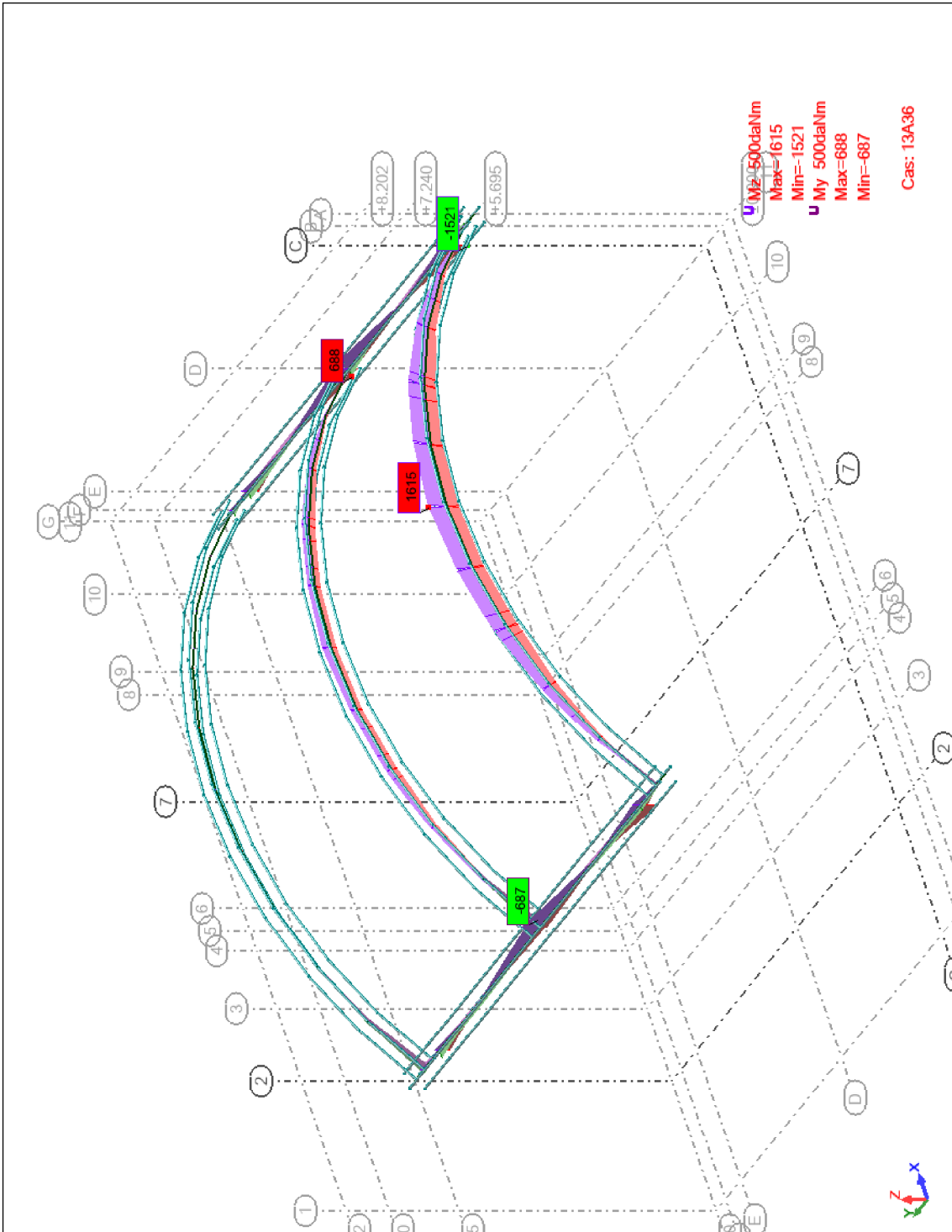
53/7200= 1/156e ; correct

17. TL290 MyMz ELU - MY;MZ;Déformée exacte; Cas: 13A36



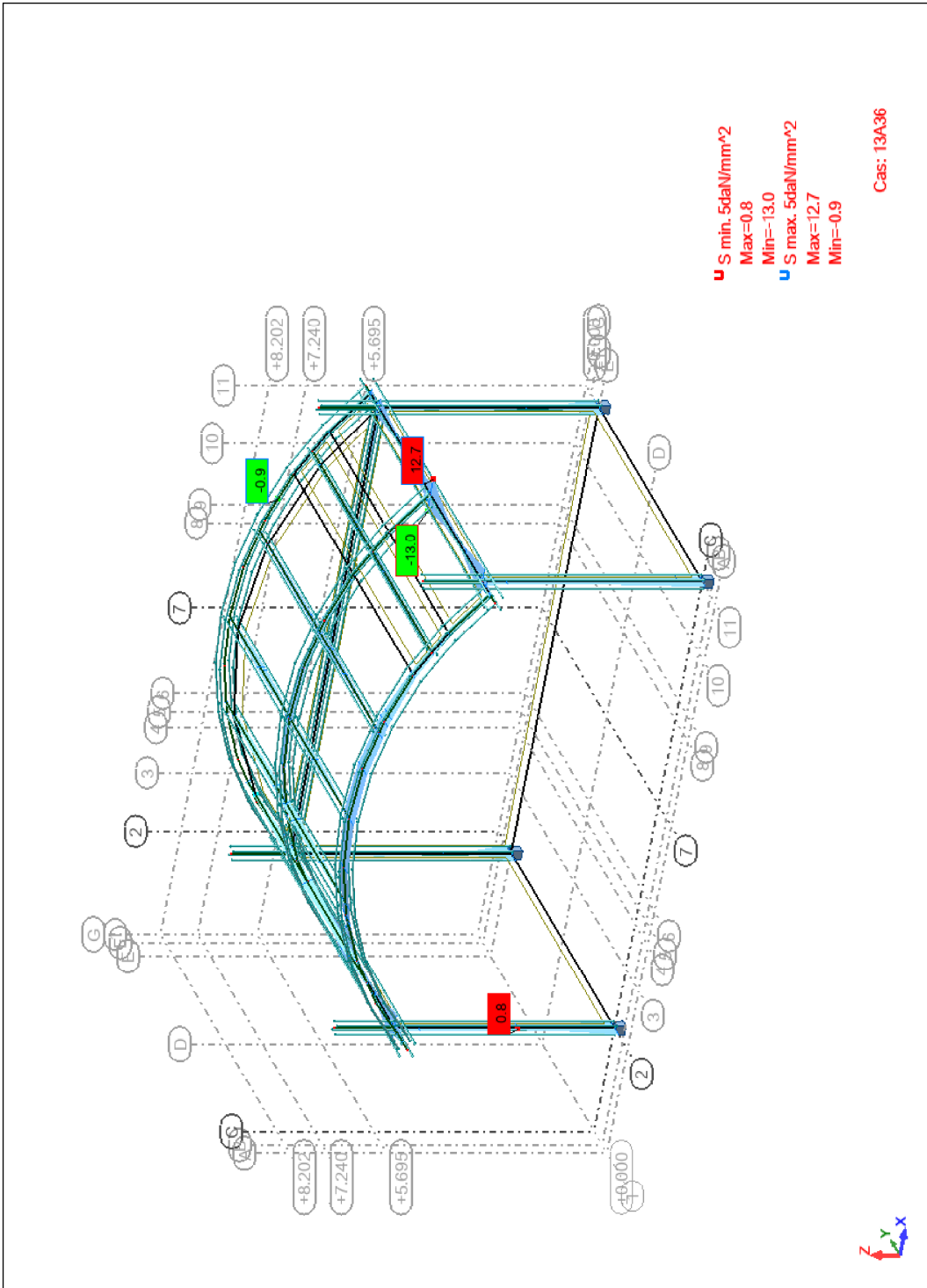
1651 < 1720 daN.m ; correct

18. SC390 MyMz ELU - MY;MZ; Cas: 13A36



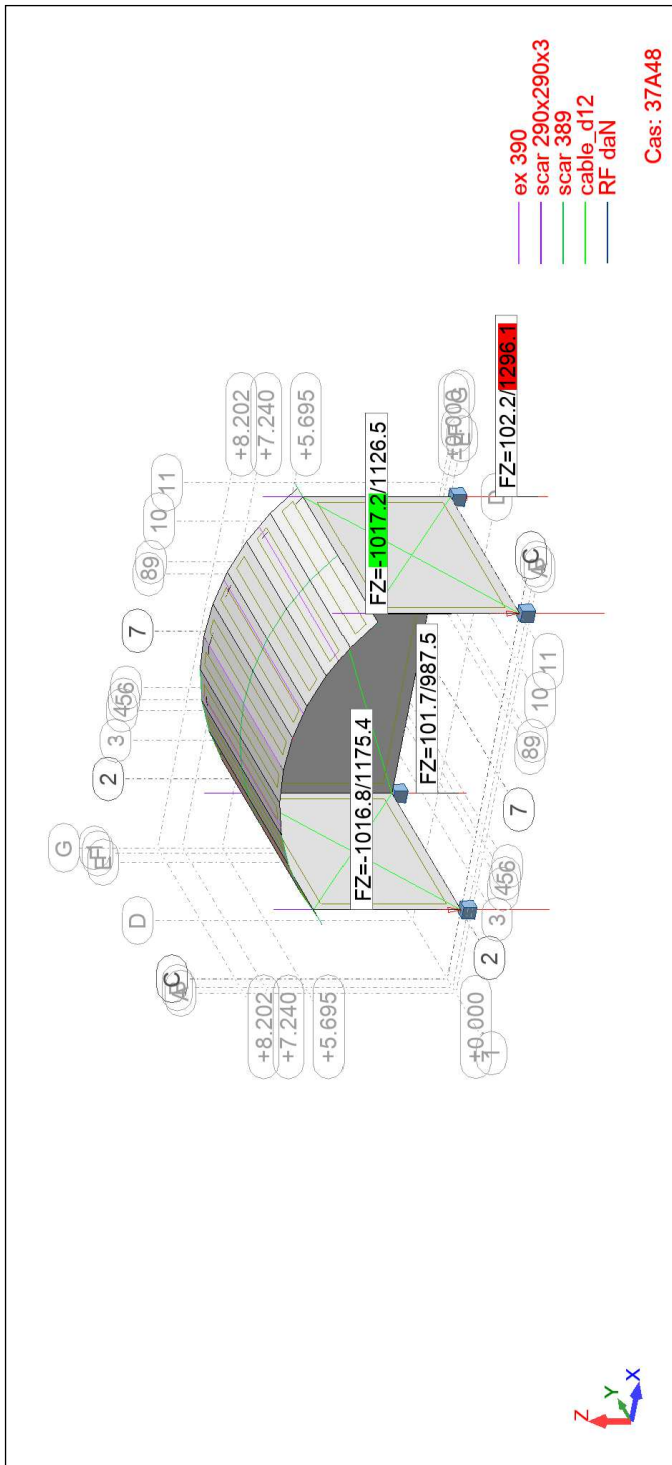
1615 < 2440 daN.m ; correct

19. Sigma ELU - S max;S min; Cas: 13A36



13<21.5 daN/mm² ; correct

20. FZ ELS min/max- Forces de réaction(daN); Cas: 37A48



On constate un effort au soulèvement au plus défavorable sur la tour de -1017daN. Et un FZ 1296 daN en compression ; acceptable.

21. Détermination de la valeur mini des lests

Nous tenons compte à la fois d'un maitre couple généré par le vent ainsi que de la poussée horizontale du vent. La poussée horizontale est reprise au frottement sur le sol.

Nous considérons un coefficient de frottement forfaitaire acier/asphalte de 0.4 pour la suite des calculs.

Tout autre nature de sol engendrant un coefficient de frottement inférieur ou égal à 0.4 nécessitera un recalcul des valeurs de lests.

Ci-après le résumé de toutes les combinaisons possibles aux ELS avec les valeurs de lests mini par cas :

Cas/Noeud	FX [daN]	FY [daN]	FZ [daN]	somme totale reactions suivant FX/FY daN	$\sum FZ + Pa$ daN	Poids total minimal pour contrer les efforts suivant FX/FY daN	Valeur mini d'1 lest pour contrer les efforts suivant FX/FY daN	valeur du lests mini suivant FZ daN	lest mini			
37/ 1	55.7	-48.4	1126.5					0				
37/ 3	1.1	48.4	945.4					0				
37/ 5	-1.2	48.4	945.4					0				
37/ 9	-55.7	-48.4	1126.5					0				
Cas 37	DEP/1=pp*1.00 + cluster*1.00 + charge_lineaire*1.00											
Somme total	0	0	4143.8	0	4144	0	0	0	0			
Somme réact	0	0	4143.8									
Somme effor	0	0	-4143.8									
Vérification	0.00E+00	0.00E+00	0									
Précision	2.96E-07	1.16E-14										
38/ 1	14	-55.1	470.9					0				
38/ 3	-54	55.1	550.7					0				
38/ 5	54	55.1	550.7					0				
38/ 9	-14	-55.1	470.9					0				
Cas 38	DEP/2=pp*1.00											
Somme total	0	0	2043.3	0	2043	0	0	0	0			
Somme réact	0	0	2043.3									
Somme effor	0	0	-2043.3									
Vérification	0.00E+00	0.00E+00	0									
Précision	5.26E-09	2.61E-18										
39/ 1	13.9	-74.2	813.1					0				
39/ 3	-54.3	74.2	508.5					0				
39/ 5	54.3	74.2	508.5					0				
39/ 9	-13.9	-74.2	813.1					0				
Cas 39	DEP/3=pp*1.00 + cluster*1.00											
Somme total	0	0	2643.3	0	2643	0	0	0	0			
Somme réact	0	0	2643.3									
Somme effor	0	0	-2643.3									
Vérification	0.00E+00	0.00E+00	0									
Précision	7.50E-09	4.52E-18										
40/ 1	55.7	-29.3	784.3					0				
40/ 3	1.5	29.3	987.5					0				
40/ 5	-1.5	29.3	987.6					0				
40/ 9	-55.7	-29.3	784.3					0				
Cas 40	DEP/4=pp*1.00 + charge_lineaire*1.00											
Somme total	0	0	3543.8	0	3544	0	0	0	0			
Somme réact	0	0	3543.8									
Somme effor	0	0	-3543.8									
Vérification	0.00E+00	0.00E+00	0									
Précision	1.04E-08	7.52E-18										
41/ 1	-472	6	519.9					0				
41/ 3	-747.2	80.3	279.5					0				
41/ 5	-55.9	-4	859.4					0				
41/ 9	-76.4	-82.3	457.8					0				
Cas 41	DEP/5=pp*1.00 + vent_cote_W1*1.00											
Somme total	-1351.6	0	2116.6	1352	2117	4055	485	0	485			
Somme réact	-1351.6	0	2116.6									
Somme effor	1351.6	0	-2116.6									
Vérification	0.00E+00	0.00E+00	0									
Précision	9.69E-08	1.72E-14										
42/ 1	268.8	-866	-1016.8					-1220				
42/ 3	306.9	-624.2	142.9					0				
42/ 5	-307	-624.3	143.4					0				
42/ 9	-268.8	-866.5	-1017.2					-1221				
Cas 42	DEP/6=pp*1.00 + vent_face_W1*1.00											
Somme total	0	-2981	-1747.7	2981	286	8943	2164	1221	2164			
Somme réact	0	-2981	-1747.7									
Somme effor	0	2981	1747.7									
Vérification	0.00E+00	0.00E+00	0									
Précision	2.58E-06	1.15E-11										
43/ 1	-430.3	13.8	1175.4					0				
43/ 3	-691.9	72.5	674.4					0				
43/ 5	-111.2	-10	1253.9					0				
43/ 9	-118.1	-76.3	1113.5					0				
Cas 43	DEP/7=pp*1.00+cluster*1.00+charge_lineaire*1.00...											
Somme total	-1351.6	0	4217.2	1352	4217	4055	0	0	0			
Somme réact	-1351.6	0	4217.2									
Somme effor	1351.6	0	-4217.2									
Vérification	0.00E+00	0.00E+00	0									
Précision	3.10E-06	3.83E-12										

coefficient de frottement sol :	0.4	acier/asphalte
coefficient de stabilité	1.2	
nb appuis	4	
Pa= poids propre additionnel relié sur les tours	0	daN

44/ 1	310.6	-854.4	-361.7						-434	
44/ 3	362	-635.9	538.1						0	
44/ 5	-362.1	-635.9	538.6						0	
44/ 9	-310.5	-854.8	-362.2						-435	
Cas 44	DEP/8=pp*1.00+cluster*1.00+charge_lineaire*1.00...									
Somme total	0	-2981	352.9	2981	1077	8943	1967	435	1967	
Somme réact	0	-2981	352.9							
Somme effor	0	2981	-352.8							
Vérification	0.00E+00	0.00E+00	0							
Précision	7.59E-06	2.53E-10								
45/ 1	-472.1	-13.1	862.1						0	
45/ 3	-747.3	99.5	237.3						0	
45/ 5	-55.9	15.1	817.2						0	
45/ 9	-76.3	-101.5	800						0	
Cas 45	DEP/9=pp*1.00 + cluster*1.00 + vent_cote_W1*1.00									
Somme total	-1351.6	0	2716.6	1352	2717	4055	335	0	335	
Somme réact	-1351.6	0	2716.6							
Somme effor	1351.6	0	-2716.6							
Vérification	0.00E+00	0.00E+00	0							
Précision	4.11E-07	1.06E-13								
46/ 1	268.8	-876.1	-675.6						-811	
46/ 3	306.6	-614.1	101.7						0	
46/ 5	-306.6	-614.2	102.2						0	
46/ 9	-268.7	-876.6	-676						-811	
Cas 46	DEP/10=pp*1.00 + cluster*1.00 + vent_face_W1*1.00									
Somme total	0	-2981	-1147.7	2981	204	8943	2185	811	2185	
Somme réact	0	-2981	-1147.7							
Somme effor	0	2981	1147.7							
Vérification	0.00E+00	0.00E+00	0							
Précision	2.46E-06	1.25E-11								
47/ 1	-430.3	32.9	833.2						0	
47/ 3	-691.8	53.4	716.6						0	
47/ 5	-111.3	-29.1	1296.1						0	
47/ 9	-118.2	-57.2	771.3						0	
Cas 47	DEP/11=pp*1.00 + charge_lineaire*1.00 + vent_cote_W1*1.00									
Somme total	-1351.6	0	3617.2	1352	3617	4055	109	0	109	
Somme réact	-1351.6	0	3617.2							
Somme effor	1351.6	0	-3617.2							
Vérification	0.00E+00	0.00E+00	0							
Précision	2.74E-06	4.12E-12								
48/ 1	310.6	-844.3	-703						-844	
48/ 3	362.4	-646	579.3						0	
48/ 5	-362.4	-646	579.8						0	
48/ 9	-310.5	-844.7	-703.4						-844	
Cas 48	DEP/12=pp*1.00 + charge_lineaire*1.00 + vent_face_W1*1.00									
Somme total	0	-2981	-247.1	2981	1159	8943	1946	844	1946	
Somme réact	0	-2981	-247.1							
Somme effor	0	2981	247.2							
Vérification	0.00E+00	0.00E+00	0							
Précision	7.80E-06	2.47E-10								
Valeur de lest mini par TOURS de scene										
2185 kgs										

Tableau 1

22. Conclusion

Au vu du respect des hypothèses de calculs et des résultats ci-dessus, la scène est compatible avec un vent de **72km/h** avec les trois faces avec une bâche installée en 3 faces et toit.

L'installation d'un anémomètre installé en tête de tour est préconisée.

Chaque tour devra être équipée d'un lest de 2t200/TL290 et ceci avec ou sans présence de deux clusters en façade. (Voir Tableau 1 page 34)

Nous avons considéré un coefficient de frottement forfaitaire acier/asphalte de 0.4 pour cette valeur de lest défavorable.

Tout autre nature de sol engendrant un coefficient de frottement inférieur ou égal à 0.4 avec les embases acier nécessitera un recalcul de la valeur de lests.

Des câbles 7/19 en $\varnothing 12$ devront être utilisés pour les croix de st André (Resistance à la rupture de 8T6). Ils devront être prétendus à 80daN au montage.

Résumé des charges utiles admissibles sur la scène en relation avec le plan en Annexe1 : Plan des scène

Eléments	Charge utile maximale	Remarques
LINEAIRES SC390 COUR ET JARDIN	20daN/ml	
LINEAIRES TOIT VOUTES SC390	20daN/ml	Par voute face/milieu/lointain
LINEAIRES AU LOINTAIN SC300	20daN/ml	
CLUSTER FACADE	$\leq 300\text{daN} \times 2$	Installation facultative

23. Annexe1 : Plan des scènes compatibles

